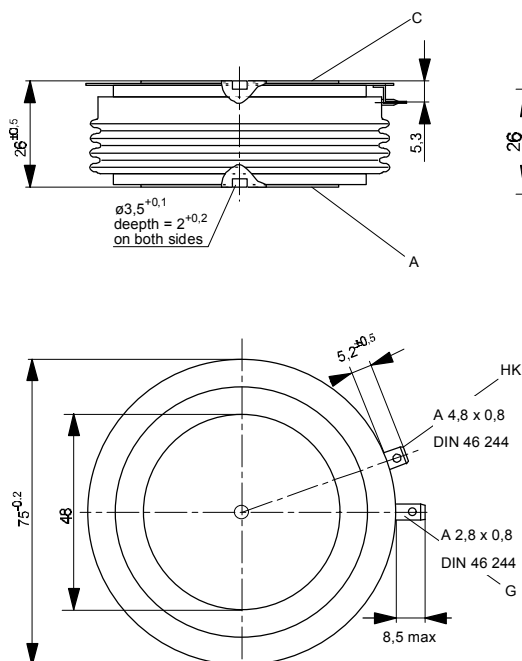




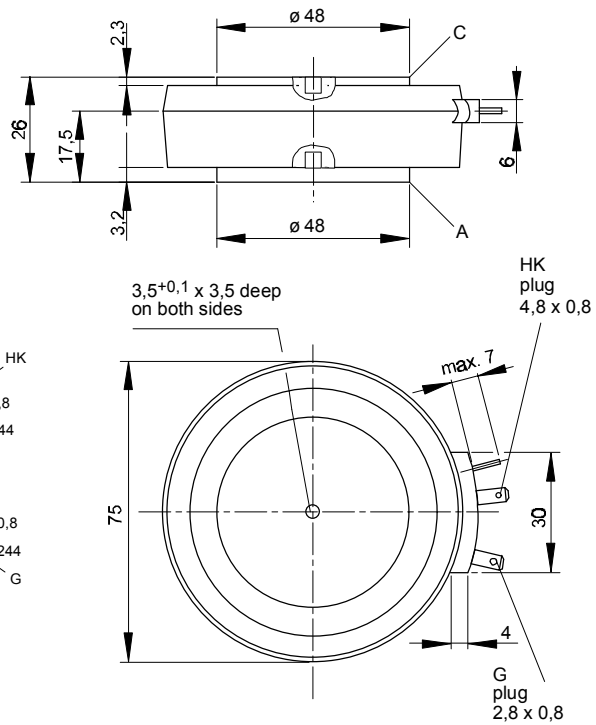
European Power-
Semiconductor and
Electronics Company

Marketing Information

T 901 N



T 909 N

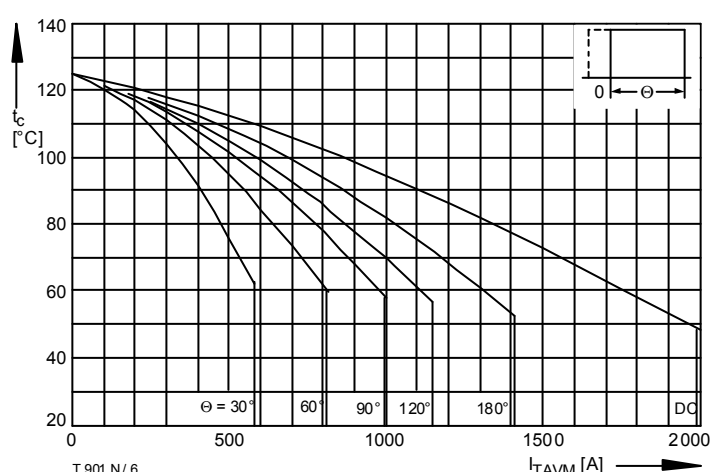
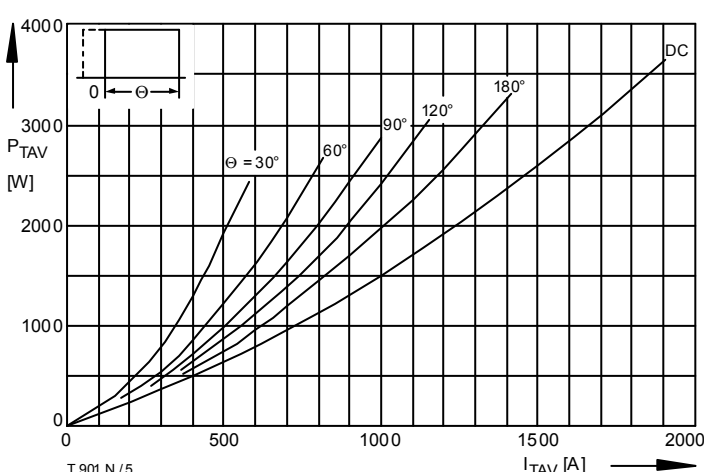
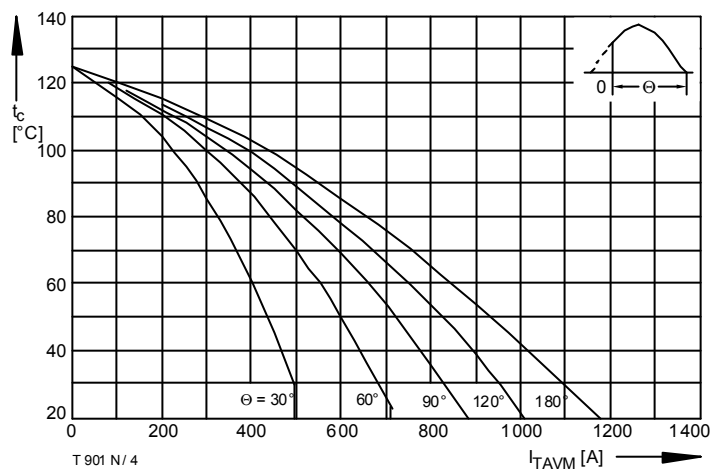
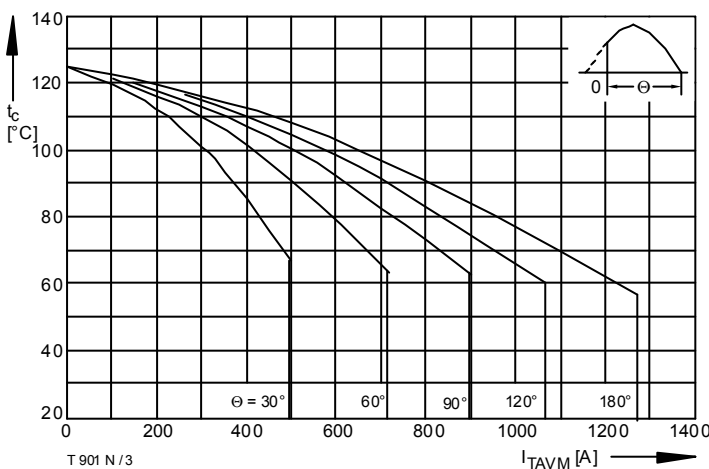
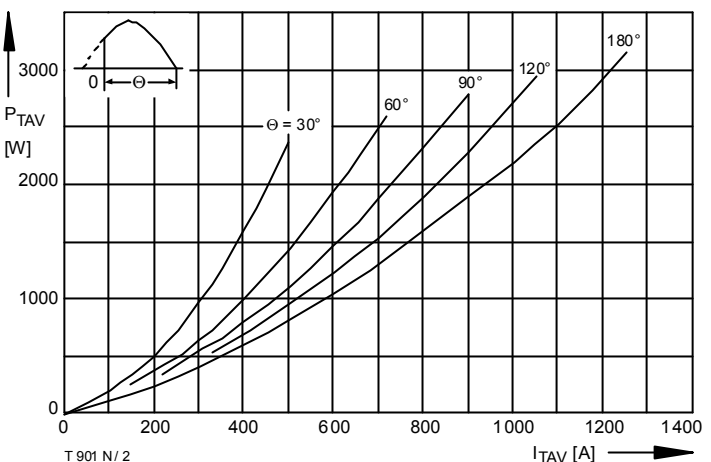
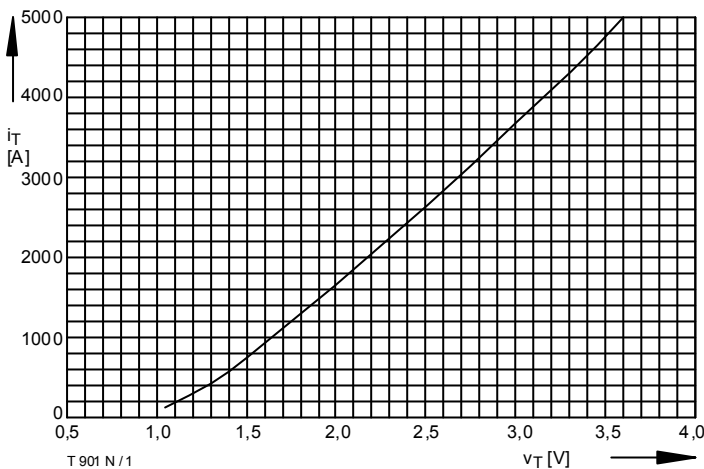


T 901 N

Elektrische Eigenschaften		Electrical properties				
<i>Höchstzulässige Werte</i>		<i>Maximum rated values</i>				
Periodische Vorwärts- und Rückwärts-Spitzenperrspannung		repetitive peak forward off-state and reverse voltages	$t_{vj} = -40^\circ\text{C} \dots t_{vj \max}$	$V_{\text{DRM}}, V_{\text{RRM}}$	2800 3200 3400 3500 3600*	V
Vorwärts-Stoßspitzenperrspannung		non-repetitive peak forward off-state voltage	$t_{vj} = -40^\circ\text{C} \dots t_{vj \max}$	$V_{\text{DSM}} = V_{\text{DRM}}$	2800 3200 3400 3500 3600*	V
Rückwärts-Stoßspitzenperrspannung		non-repetitive peak reverse voltage	$t_{vj} = +25^\circ\text{C} \dots t_{vj \max}$	$V_{\text{RSM}} = V_{\text{RRM}}$	2900 3300 3500 3600 3700	V
Durchlaßstrom-Grenzeffektivwert		RMS on-state current		I_{TRMSM}	2000	A
Dauergrenzstrom		average on-state current	$t_c = 85^\circ\text{C}$	I_{TAVM}	900	A
			$t_c = 56^\circ\text{C}$		1275	A
Stoßstrom-Grenzwert		surge current	$t_{vj} = 25^\circ\text{C}, t_p = 10 \text{ ms}$ $t_{vj} = t_{vj \max}, t_p = 10 \text{ ms}$	I_{TSM}	19000 17000	A
Grenzlastintegral		$I^2 t$ -value	$t_{vj} = 25^\circ\text{C}, t_p = 10 \text{ ms}$ $t_{vj} = t_{vj \max}, t_p = 10 \text{ ms}$	$I^2 t$	1805000 1445000	A^2s A^2s
Kritische Stromsteilheit		critical rate of rise of on-state current	$v_D \leq 67\%, V_{\text{DRM}}, f = 50 \text{ Hz}$ $i_{\text{GM}} = 1 \text{ A}, di_G/dt = 1 \text{ A}/\mu\text{s}$	$(di_T/dt)_{\text{cr}}$	80	$\text{A}/\mu\text{s}$
Kritische Spannungssteilheit		critical rate of rise of off-state voltage	$t_{vj} = t_{vj \max}, v_D = 67\% V_{\text{DRM}}$	$(dv/dt)_{\text{cr}}$	1000	$\text{V}/\mu\text{s}$
			5.Kennbuchstabe/5th letter F			
Charakteristische Werte		Characteristic values				
Durchlaßspannung		on-state voltage	$t_{vj} = t_{vj \max}, i_T = 3800 \text{ A}$	v_T	max. 3,05	V
Schleusenspannung		threshold voltage	$t_{vj} = t_{vj \max}$	$V_{\text{T(TO)}}$	1,055	V
Ersatzwiderstand		slope resistance	$t_{vj} = t_{vj \max}$	r_T	0,46	$\text{m}\Omega$
Zündstrom		gate trigger current	$t_{vj} = 25^\circ\text{C}, v_D = 6 \text{ V}$	I_{GT}	max. 300	mA
Zündspannung		gate trigger voltage	$t_{vj} = 25^\circ\text{C}, v_D = 6 \text{ V}$	V_{GT}	max. 2,5	V
Nicht zündender Steuerstrom		gate non-trigger current	$t_{vj} = t_{vj \max}, v_D = 6 \text{ V}$	I_{GD}	max. 20	mA
			$t_{vj} = t_{vj \max}, v_D = 0,5 V_{\text{DRM}}$		max. 10	mA
Nicht zündende Steuerspannung		gate non-trigger voltage	$t_{vj} = t_{vj \max}, v_D = 0,5 V_{\text{DRM}}$	V_{GD}	max. 0,4	V
Haltestrom		holding current	$t_{vj} = 25^\circ\text{C}, v_D = 12 \text{ V}, R_A = 4,7 \Omega$	I_H	max. 300	mA
Einraststrom		latching current	$t_{vj} = 25^\circ\text{C}, v_D = 12 \text{ V}, R_{\text{GK}} \geq 10 \Omega$	I_L	max. 2000	mA
			$i_{\text{GM}} = 1 \text{ A}, di_G/dt = 1 \text{ A}/\mu\text{s}, t_g = 20 \mu\text{s}$			
Vorwärts- und Rückwärts-Sperrstrom		forward off-state and reverse currents	$t_{vj} = t_{vj \max}, v_D = V_{\text{DRM}}, v_R = V_{\text{RRM}}$	i_D, i_R	max. 100	mA
Zündverzug		gate controlled delay time	$t_{vj} = 25^\circ\text{C}, i_{\text{GM}} = 1 \text{ A}, di_G/dt = 1 \text{ A}/\mu\text{s}$	t_{gd}	max. 1,6	μs
Freiwerdezeit		circuit commutated turn-off time	siehe Techn. Erl./see Techn. Inf.	t_q	typ. 350	μs
Thermische Eigenschaften		Thermal properties				
Innerer Wärmewiderstand für beidseitige Kühlung		thermal resistance, junction to case for two-sided cooling	$\Theta = 180^\circ \text{ el, sin}$ DC	R_{thJC}	max. 0,0215	$^\circ\text{C}/\text{W}$
für anodenseitige Kühlung		for anode-sided cooling	$\Theta = 180^\circ \text{ el, sin}$ DC	$R_{\text{thJC(A)}}$	max. 0,0200	$^\circ\text{C}/\text{W}$
für kathodenseitige Kühlung		for cathode-sided cooling	$\Theta = 180^\circ \text{ el, sin}$ DC	$R_{\text{thJC(K)}}$	max. 0,0376 max. 0,0360	$^\circ\text{C}/\text{W}$ $^\circ\text{C}/\text{W}$
Übergangs-Wärmewiderstand		thermal resistance, case to heatsink	beidseitig/two-sided einseitig/one-sided	R_{thCK}	max. 0,004 max. 0,008	$^\circ\text{C}/\text{W}$ $^\circ\text{C}/\text{W}$
Höchstzul. Sperrschiichttemperatur		max. junction temperature	$t_{vj \max}$		125	$^\circ\text{C}$
Betriebstemperatur		operating temperature	t_{cop}		-40...+125	$^\circ\text{C}$
Lagertemperatur		storage temperature	t_{stg}		-40...+150	$^\circ\text{C}$
Mechanische Eigenschaften		Mechanical properties				
Si-Elemente mit Druckkontakt		Si-pellet with pressure contact				
Anpreßkraft		clamping force		F	15...24	kN
Gewicht		weight	$T 901 \text{ N/T } 909 \text{ N}$	G	typ. 550/540	g
Kriechstrecke		creepage distance	$T 901 \text{ N/T } 909 \text{ N}$		25/32	mm
Feuchtekategorie		humidity classification	DIN 40040			C
Schwingfestigkeit		vibration resistance	$f = 50 \text{ Hz}$		50	m/s^2
Maßbild, anliegend		outline, attached				

* Für größere Stückzahlen Liefertermin erfragen / Delivery for larger quantities on request

T 901 N, T 909 N



T 901 N, T 909 N

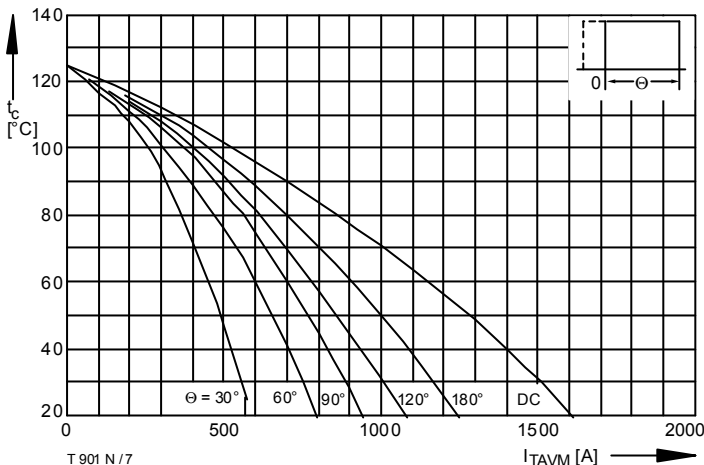


Bild / Fig. 7
Höchstzulässige Gehäusetemperatur / Max. allowable case temperature
 $t_C = f(I_{TAVM})$
Anodenseitige Kühlung / Anode-sided cooling
Parameter: Stromflußwinkel / Current conduction angle θ

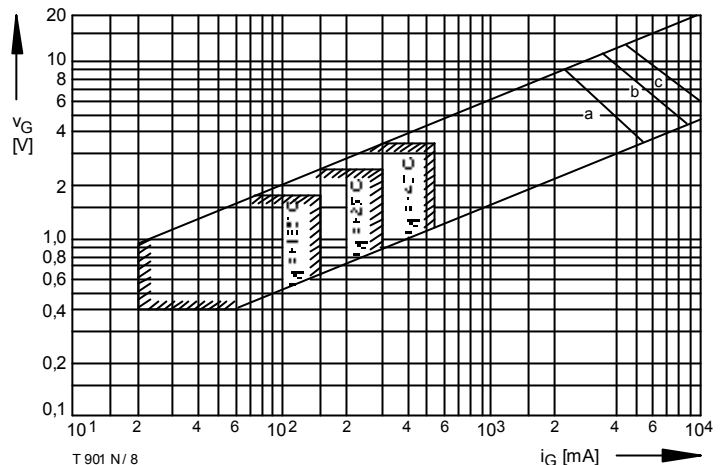


Bild / Fig. 8
Steuercharakteristik mit Zündbereichen / Gate characteristic with triggering areas $v_G = f(i_G)$, $V_D = 6$ V
Parameter:
a b c
Steuerimpulsdauer / trigger puls duration t_g [ms] 10 1 0,5
Höchstzulässige Spitzensteuerverlustleistung /
Max. rated peak gate power dissipation [W] 20 40 60

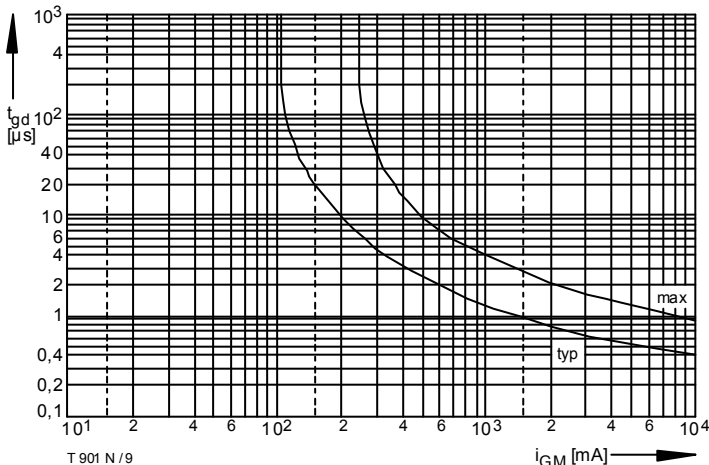


Bild / Fig. 9
Zündverzug / Gate controlled delay time $t_{gd} = f(i_{GM})$
 $t_{vj} = 25$ °C, $di_G/dt = i_{GM}/1\mu s$

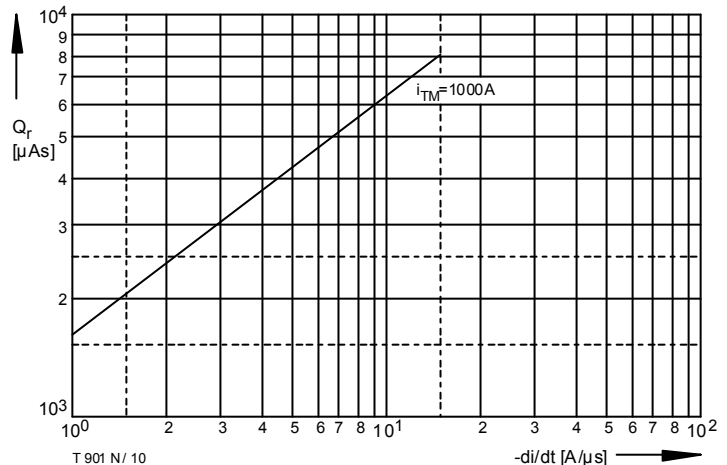


Bild / Fig. 10
Sperrverzögerungsladung / Recovered charge $Q_r = f(di/dt)$
 $t_{vj} = t_{vj \text{ max}}$, $V_R = 0,5 V_{RRM}$, $V_{RM} = 0,8 V_{RRM}$
Parameter: Durchlaßstrom / On-state current i_{TM}

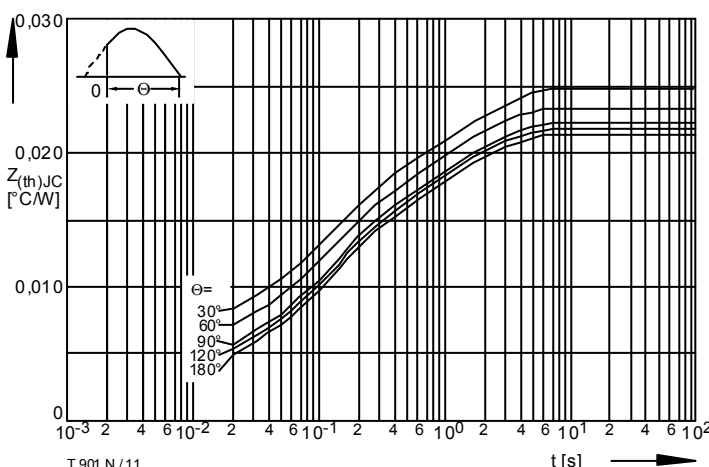


Bild / Fig. 11
Transienter innerer Wärmewiderstand / Transient thermal impedance
 $Z_{thJC} = f(t)$
Beidseitige Kühlung / Two-sided cooling
Parameter: Stromflußwinkel / current conduction angle θ

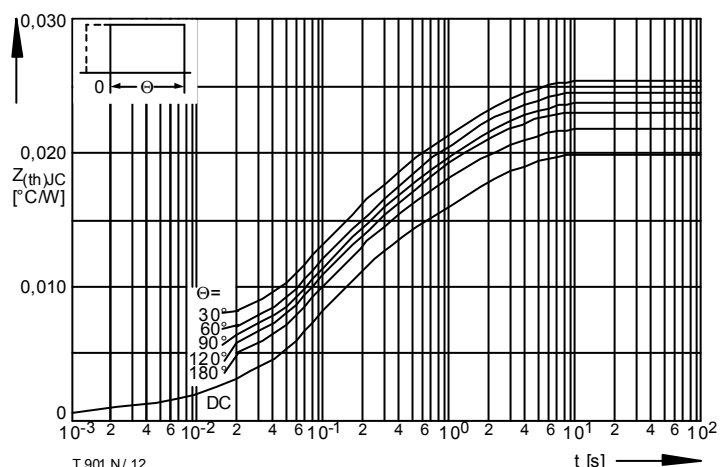


Bild / Fig. 12
Transienter innerer Wärmewiderstand / Transient thermal impedance
 $Z_{thJC} = f(t)$
Beidseitige Kühlung / Two-sided cooling
Parameter: Stromflußwinkel / current conduction angle θ

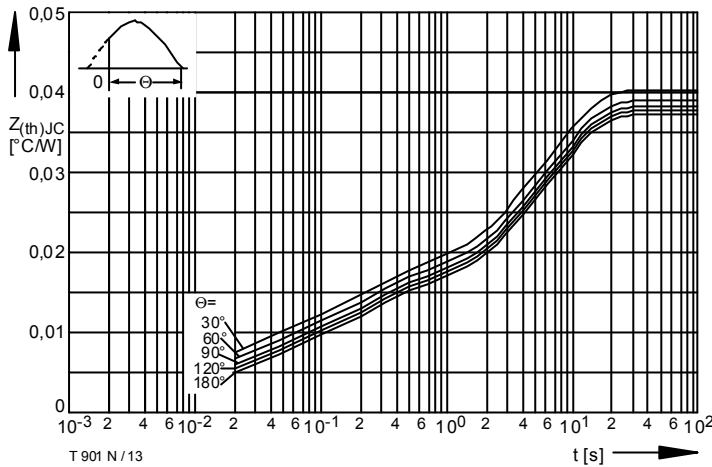


Bild / Fig. 13
Transienter innerer Wärmewiderstand / Transient thermal impedance
 $Z_{thJC} = f(t)$
Beidseitige Kühlung / Two-sided cooling
Parameter: Stromflußwinkel / current conduction angle θ

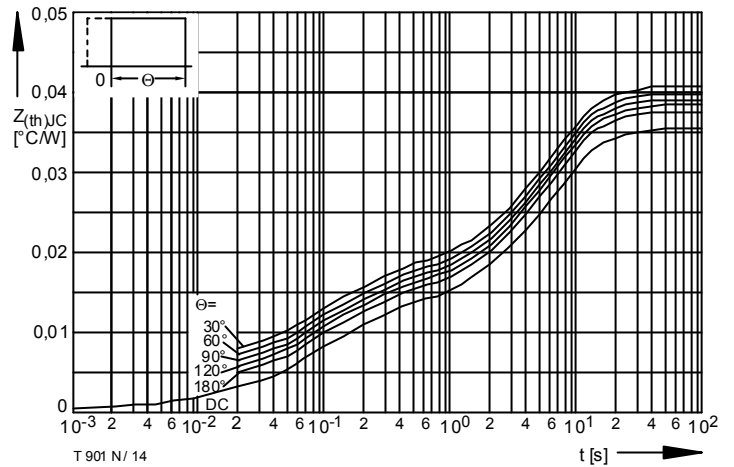


Bild / Fig. 14
Transienter innerer Wärmewiderstand / Transient thermal impedance
 $Z_{thJC} = f(t)$
Anodenseitige Kühlung / Anode-sided cooling
Parameter: Stromflußwinkel / current conduction angle θ

Analytische Elemente des transienten Wärmewiderstandes Z_{thJC} pro Zweig für DC
Analytical elements of transient thermal impedance Z_{thJC} per arm for DC

Beidseitig / Two-sided

Pos. n	1	2	3	4	5
$R_{thn} [^{\circ}\text{C}/\text{W}]$	0,00107	0,002	0,0091	0,00029	0,00754
$\tau_n [\text{s}]$	0,004	0,0145	0,145	0,805	1,54

Anodenseitig / Anode-sided

Pos. n	1	2	3	4	5
$R_{thn} [^{\circ}\text{C}/\text{W}]$	0,00107	0,002	0,00032	0,0091	0,02351
$\tau_n [\text{s}]$	0,004	0,0195	0,0934	0,145	6,85

Kathodenseitig / Cathode-sided

Pos. n	1	2	3	4	5
$R_{thn} [^{\circ}\text{C}/\text{W}]$	0,00107	0,002	0,0091	0,00012	0,03271
$\tau_n [\text{s}]$	0,004	0,0195	0,145	0,432	6,1

Analytische Funktion / Analytical function:

$$Z_{thJC} = \sum_{n=1}^{n_{max}} R_{thn} \left(1 - e^{-\frac{t}{\tau_n}}\right)$$